

รายการอ้างอิง

ภาษาไทย

- กิตติพงศ์ ปรางค์. 2545. การผลิตโพลิ(3-ไฮดรอกซีบิวทิเรต-โคล-3-ไฮดรอกซีวีแลอเรต) ที่มีสัดส่วนโดยนิลของ 3-ไฮดรอกซีวีแลอเรต โดยแบคทีเรียสายพันธุ์ *Bacillus sp.BA-019* ในถังหมัก วิทยานิพนธ์ปริญญามหาบัณฑิต ภาควิชาจุลชีววิทยา คณะวิทยาศาสตร์ จุฬาลงกรณ์มหาวิทยาลัย
- รัตนศิริ มุติตาภุ. 2538. การผลิตโพลีบีต้าไฮดรอกซีบิวทิเรต โดยแบคทีเรียสายพันธุ์ *Bacillus sp.BA-019* ที่แยกได้ วิทยานิพนธ์ปริญญามหาบัณฑิต ภาควิชาจุลชีววิทยา คณะวิทยาศาสตร์ จุฬาลงกรณ์มหาวิทยาลัย
- วนิดา วัฒนากร. 2536. การควบคุมกระบวนการสังเคราะห์โพลี-เบต้า-ไฮดรอกซีอัลคาโนเอทในเชื้อ *Alcaligenes eutrophus* ATCC 17697 วิทยานิพนธ์ปริญญามหาบัณฑิต ภาควิชาเทคโนโลยีชีวภาพ คณะวิทยาศาสตร์ จุฬาลงกรณ์มหาวิทยาลัย
- สุดา สุภาษีวนสวัสดิ์. 2542. ผลของการขับสเทราต่อสัดส่วนของ 3-ไฮดรอกซีวีแลอเรต ในโพลิ(3-ไฮดรอกซีบิวทิเรต-โคล-3-ไฮดรอกซีวีแลอเรต) ซึ่งผลิตจาก *Bacillus sp.BA-019* วิทยานิพนธ์ปริญญามหาบัณฑิต ภาควิชาจุลชีววิทยา คณะวิทยาศาสตร์ จุฬาลงกรณ์มหาวิทยาลัย
- อดิพล บุญเรืองภาร. 2543. การผลิตโพลิ(3-ไฮดรอกซีบิวทิเรต) โดยการเลี้ยงเชื้อ *Bacillus sp.BA-019* แบบปั๊ก เป็นวงเดียว 2 ขั้นตอน ภายใต้การจำากัดปริมาณไนโตรเจน วิทยานิพนธ์ปริญญามหาบัณฑิต ภาควิชาจุลชีววิทยา คณะวิทยาศาสตร์ จุฬาลงกรณ์มหาวิทยาลัย

ภาษาอังกฤษ

- Abe, H. and Doi, Y. 1999. structure effects on enzymatic degradabilities for poly[(R)-3-hydroxybutyric acid] and its copolymers. *J. Biol. Macromol.* 25:185-192.
- Amov, SR., Rayment, T., and Sanders, JKM. 1991. Poly(3-hydroxybutyrate) in vivo: NMR and X-ray characterization of the elastomeric state. *Macromolecules*. 24:4583-8.
- Anderson, A.J., and Dawes, E.A. 1990. Occurrence, metabolism, metabolic role, and industrial uses of bacterial polyhydroxyalkanoates. *Microbiol.Rev.* 54:450-472.

- Ausubel, F.A., Brent, R., Kingston, R.E., More, D.D., Seidman, J.G., Smith, J.A., and Struhl, K. 1999. Current Protocols in Molecular Biology. 4th ed. New York: John Wiley & Sons.
- Brandl, H., Gross, R.A., Lenz, R.W., and Fuller, R.C. 1990. Plastic from Bacteria and for bacteria : Poly(-β-hydroxyalkanoates) as natural, Biocompatible, and Biodegradable Polyesters. Adv. Biochem. Eng. Biotechno. 41:77-93.
- Braunegg, G., Lefebvre, G., and Genser, K.F. 1998. Polyhydroxyalkanoates, biopolymers from renewable resources: physiology and engineering aspects. J.Biotechnol. 65 :127-161.
- Burke, T., Chandrasekhar, B., and Knight, M. 1999. Analogs of viscosin and uses thereof. In: Official Gazette of the United States Patent and Trademark Office Patents. Washington D.C. U.S: Peptide Technologies Cooperation.
- Byrom, D. 1987. Polymer synthesis by microorganisms: technology and economics. Tibtech. 5:246-250.
- Chowdhury, AA. 1963. poly-β-hydroxybuttersaure abbauende Bakterien and Exoenzym. 47:167-200.
- Cox, M.K. 1994. Properties and applications of polyhydroxyalkanoates. Doi, Y. and Fukuda, K. (eds.), Biodegradable Plastics and Polymers. pp. 120-135. Elsevier Science B.V.
- Dawes, E.A., Senior, P.J. 1973. The role and regulation energy reserve polymers in microorganisms. Adv. Microbiol. Physiol. 10:135-266.
- Delafield, FP., Doudoroff, M., Palleroni, NJ., Lustig, CJ., and Contopoulos, R. 1965. Decomposition of poly-β-hydroxybutyrate by pseudomonads. 90:1455-66.
- Doi, Y.(ed.). 1990. Microbial polyesters. New York:VCH.
- Doi, Y., Segawa, A., Nakamura, S., Kunioka, M. 1992. IN:Dawes E.A. (ed.) Novel biodegradable microbial polymers, 2nd ed. Kluwer Academic Publishers, Dordrecht, pp. 37-48.
- Doi, Y., Kitamanea, S. and Kideki, A. 1995. Microbial synthesis and characterization of poly(3-hydroxybutyrate-co-3-hydroxyhexanoate) Macromolecules. 28:4822-4828.

- Fishman, A., Eroshov, M., Dee-Noor, S.S., Mail, J.V., Cogan, U., and Effenberger, R. 2001. A two-step enzymatic resolution porcess for large-scale production of (s)- and (R)-ethyl-3-hydroxybutyrate. *Biotechnol. And Bioeng.* 74(3):256-263.
- Gao, H.J., Wu, Q. and Chen, G.Q. 2002. Enhanced production of D-(--)-3-hydroxybutyric acid by recombinant *Escherichia coli*. *FEMS Microbiol. Lett.* 213:59-65.
- Griebel, R., Smith, Z., and Merrick, JM. 1968. Metabolism of poly- β -hydroxybutyrate I. Purification, composition, and properties of native poly- β -hydroxybutyrate granules from *Bacillus megaterium*. *Biochemistry*. 7:3676-81.
- Hassan, M.A., Shirai, Y., Kusabayashi, N., and Hashimoto, K. 1996. Effect of organic acid profile during aerobic treatment of palm oil mill effluent on to production of polyhydroxyalkanoates by *Rhodobacter sphaeroides*. *J. Ferment. Bioeng.* 82:151-156.
- Haywood, G.W., Anderson, A.J., Chu, L., and Dawes, E.A. 1988. *FEMS Microbiol. Lett.* 52:259.
- Heinzle, E. and Lafferty, R.M. 1980. A kinetic model for growth and synthesis of poly(β -hydroxybutyric acid) (PHB) from *Alcaligenes eutrophus*. *Eur. J. Appl. Microbiol. Biotechnol.* 11:8-16.
- Jendrossek, D., Knoke, I., Jabibian, RB., Streinbuchel, A., and Schlegel, HG. 1996. Degradation of poly(3-hydroxybutyrate), PHB, by bacteria and purification of a novel PHB depolymerase from Comamonas sp. *J. Environ Polym Degrad.* 1:53-63.
- Kita, K., Ishimaru, K., Teraoka, M., Yanase, H. and Kato, N. 1995. Properties of poly(3-hydroxybutyrate) depolymerase from a marine bacterium, *Alcaligenes faecalis* AE122. *Appl. Env. Micro.* 61:1727-1730.
- Kasuya, K., Inoue, Y., Yamada, K. and Doi, Y. 1995. Kinetics of surface hydrolysis of poly[(R)-3-hydroxybutyrate] film by PHB depolymerase from *Alcaligenes faecalis* T1. *Polymer Degradation and stability*. 48:167-174.
- Kobayashi, T., Shiraki, M., Abe, T., Sugiyama, A. and Saito, T. 2003. Purification and properties of an intracellular 3-hydroxybutyrate-oligomer hydrolase (PhaZ2) in *Ralstonia eutropha* H16 and its identification as a novel intracellular poly(3-hydroxybutyrate) depolymerase. *J. of Bact.* 12:3485-3490.

- Kumar, A., Gross, R.A. and Jendrossek, D. 2000. Poly(3-hydroxybutyrate) depolymerase from *Pseudomonas lemoignei*: Catalysis of esterifications in organic media. *J. org. Chem.* 65:7800-7806.
- Lee, S.Y. 1996(a). Bacterial polyhydroxyalkanoates. *Biotechnol. And Bioeng.* 49:1-14.
- Lee, S.Y. 1996(b). Plastic bacteria? Progress and prospects for polyhydroxyalkanoate production in bacteria. *Tibtech.* 16:419-426.
- Lee, S.Y., Lee, Y., and Wang, F. 1999. Chiral compounds from bacterial polyesters: Sugars to plastics to fine chemicals. *Biotechnol. And Bioeng.* 65(3):363-368.
- Lee, S.Y. and Lee, Y. 2003. Metabolic engineering of *Escherichia coli* for production of enantiomerically pure (R)-(-)-hydroxycarboxylic acids. *Appl. Env. Micro.* 69:3421-3426.
- Lusty, C.J., and Doudoroff, M. 1963. Proc. *Natl. Acad. Sci.* 56:960.
- Lusty, C.J., and Doudoroff, M. 1966. Proc. *Natl. Acad. Sci.* 56:960.
- Madison, L.L., and Huisman, G.W. 1999. Metabolic engineering of poly (3-hydroxyalkanoates) from DNA to plastic. *Microbiol.Mole.Biol.Rev.* 63:21-53.
- Merrick, JM., Doudoroff, M. 1964. Depolymerization of poly- β -hydroxybutyrate by an intracellular enzyme system. *J. Bacteriol.* 88:60-71.
- Merrick, J.M., Steger, R. and Dombroski, D. 1999. Hydrolysis of native poly(hydroxybutyrate) granules (PHB), crystalline PHB, and artificial amorphous PHB granules by intracellular and extracellular depolymerases. *Int. J. Biol. Macromol.* 25:129-134.
- Mukai, K., Yamada, K., and Doi, Y. 1993. *J. Biol. Macromol.* 14:235.
- Muller, B., and Jendrossek, D. 1993. *Appl. Microbiol. Biotechnol.* 38:487.
- Nakayama, K., Saito, T., Fukui, T., Shirakura, Y. and Tomita, K. 1985. *Biochim. Biophys. Acta.* 827:63.
- Oeding, V. and Schlegel, H.G. 1973. β -ketothiolase from H16 and its significance in the regulation of poly- β -hydroxybutyrate metabolism. *Biochem. J.* 134:239-248.
- Ohashi, T., Hasegawa, J. 1992. New preparative methods for optically active beta-hydroxycarboxylic acids. In: Sheldrake GN. Collins AN, Crosby J, editors. Chirality in industry. New York: John Wiley & Sons, p 249-268.
- Peypoux, F., Bonmatin, JM., and Wallach, J. 1999. Recent trends in the biochemistry of surfactin. *Appl Microbiol Biotechnol.* 51:553-563.

- Quinteros, R., Goodwin, S., Lenz, R.W. and Park, W.H. 1999. Extracellular degradation of medium chain length poly(β -hydroxyalkanoates) by *Comamonas* sp. Biolo. Macromol. 25:135-143.
- Roo, G., Michele, B., Kellerhals, Ren, Q., Witholt, B. and Kessler, B. 2002. Production of chiral R-3-hydroxyalkanoic acids and R-3-hydroxyalkanoic acid methylesters via hydrolytic degradation of polyhydroxyalkanoate synthesized by Pseudomonads. Biotechnol Bioeng. 77:717-722.
- Schirmer, A., Jendrossek, D., and Schlegel, HG. 1993. Degradation of poly (3-hydroxyoctanoic acid) [P(3HO)] by bacteria. Purification and properties of a P(3HO) depolymerase of *Pseudomonas fluorescens* GK13 biovar V. Appl. Environ Microbiol. 59:1220-7.
- Seebach, D., Bech, AK., Breitschuh, R., and Job, K. 1992. Direct degradation of the biopolymer poly[(R)-3-hydroxybutyric acid] to (R)-3-hydroxybutanoic acid and its methyl ester. Org Synth 71:39-47.
- Son, H., Park, G., and Lee, S. 1996. Growth-associated production of poly- β -hydroxybutyrate from glucose or alcoholic distillery wastewater by *Actinobacillus* sp. EL-9. Biotechnol. Lett. 18:1229-1234.
- Shirakura, Y., Fukui, T., Tanio, T., Nakayamo, K., Matsuno, R., and Tomita, K. 1983. An extracellular D-(-)-3-hydroxybutyrate oligomer hydrolase from *Alcaligenes faecalis*. Biochim Biophys Acta. 748:331-9.
- Stephen, C. 2000. Pharmaceutical fine chemicals. Special report. 78 (28):63-80.
- Steinbuchel, A., and Valentin, H.E. 1995. Diversity of bacterial polyhydroxyalkanoic acid. FEMS Microbiol.Lett. 128:219-228.
- Suzuki, T., Deduchi H Yamane T., Shizu, S., and Gekko, K., Control molecular weight of poly-3-hydroxybutyric acid produced in fed-batch culture of *Protomonas extorquens*. Biotechnol. Lett. 18:1047-1050.
- Tanio, T., Fukui, T., Shirakura, Y., Saito, T., Tomita, K., Kaiho, T., Masamune S. 1982. Eur. J. Biochem. 124:71.
- Tomita, K., Saito, T., Fukui, T. 1983. Biochemistry of metabolic processes. New York: Elsevier. 353.

- Uefuji, M., Kasuya, K. and Doi, Y. 1997. Enzymatic degradation of poly[(R)-3-hydroxybutyrate] : secretion and properties of PHB depolymerase from *Pseudomonas stutzeri*. *Polym. Degrad. Stab.* 58:275-281.
- Valentin, H.E., Lee E.Y. and Stienbuche, A. 1994. Identification of 4-hydroxyhexanoic acids as new constituent of biosynthesis polyhydroxyalkanoic acids from bacteria. *Appl. Microbiol. Biotechnol.* 36:710-716.
- Valentin, H.E., Zwingmann, G., Schonebaum, A., and Steinbuchel, A. 1995. Metabolic pathway for biosynthesis of Poly(3-hydroxybutyrate-co-4-hydroxybutyrate) from 4-hydroxybutyrate by *Alcaligenes eutrophus*. *Eur. J. Biochem.* 227:43-60.
- Yamada, K., Mukai, K., Doi, Y. 1993. Enzymatic degradation of poly(hydroxyalkanoates) by *Pseudomonas pickettii*. *Int. J. Biol. Macromol.* 15:215-220.





ภาคผนวก

ศูนย์วิทยทรัพยากร
จุฬาลงกรณ์มหาวิทยาลัย

ภาคผนวก ก

การเตรียมกราฟมาตรฐาน และสารที่ใช้ในงานวิจัย

1. การเตรียมสารละลายนิโนเวอร์เจส (invertase)

1.1 สารละลายนิโซเตบัฟเฟอร์

เตรียมจากการละลายโซเดียมอะซิเตต 9.1 กรัม ในน้ำกลัน 800 มิลลิลิตร เติมกรดอะซิติก 1.9 มิลลิลิตร ปรับ pH เป็น 4.5 แล้วปรับปริมาณให้เป็น 1 ลิตร ด้วยน้ำกลัน

1.2 สารละลายนิโนเวอร์เจส

เตรียมจากการละลายเอนไซม์นิโนเวอร์เจส 0.15 กรัม ในสารละลายนิโซเตบัฟเฟอร์ 100 มิลลิลิตร ผสมให้เข้ากันแล้วกรองด้วยกระดาษกรองเบอร์ 1

2. การเตรียมสารละลายนิโนเรสเซอส (urease)

2.1 สารละลายนิโซเตบัฟเฟอร์

เตรียมจากการละลายโซเดียมไดไฮโดรเจนฟอสฟेटไดไฮเดรต 3.28 กรัม กับไดโซเดียมไดไฮโดรเจนฟอสฟेट 0.57 กรัม ในน้ำกลัน 200 มิลลิลิตร ปรับ pH เป็น 6.1 แล้วปรับปริมาณให้เป็น 250 มิลลิลิตร

2.2 สารละลายนิโนเรสเซอส

เตรียมจากการละลายเอนไซม์นิเรย์เซอส 1.75 กรัม ในสารละลายนิโซเตบัฟเฟอร์ 250 มิลลิลิตร ผสมให้เข้ากันแล้วกรองด้วยกระดาษกรองเบอร์ 1

3. การเตรียมสารละลายกรดได้ในໂຕຣາລີໄຊເລິກ (DNSA reagent)

สารละลายกรดได้ในໂຕຣາລີໄຊເລິກ ເຕັມຈາກກາຮລາຍກຣດໄຟໂຕຣາລີໄຊເລິກ 1.0 ກຣັມ ໃນ
ສາຮລາຍໂຊເດີມໄຫດຮອກໄຫຼ້ດໍ 2 ມີລາຣ ປຣິມາຕຣ 20 ມີລັລືລິຕຣ ພສມໃຫ້ເຂົ້າກັນແລ້ວເຕີມນໍ້າກລັ້ນ
ປຣິມາຕຣ 50 ມີລັລືລິຕຣ ເຕີມໄປແທສເຫັນໂຊເດີມຕາຣ໌ເຕຣຕ 30 ກຣັມ ປຣັບປຣິມາຕຣໃຫ້ເປັນ 100
ມີລັລືລິຕຣ ເກັບໃນຂາດສີ່ຫາ

4. การเตรียมสารละลายວິເຄາະທີ່ໂປຣຶນດ້ວຍວິທີຂອງ Lowry

4.1 ສາຮລາຍ Lowry A

ເຕັມຈາກກາຮລາຍໂຊເດີມຄາຣົບເນັຕ 20 ກຣັມ, ໂຊເດີມໄຫດຮອກໄຫຼ້ດໍ 4 ກຣັມ ແລ້ວ¹
ໂຊເດີມໄປແທສເຫັນທາຣ໌ເຕຣ 0.2 ກຣັມ ໃນນໍ້າກລັ້ນ 1 ລິຕຣ

4.2 ສາຮລາຍ Lowry B

ເຕັມຈາກກາຮລາຍຄອບປະໂຄງຮັບເພື່ອກຳເນົາ 5 ມີເລກຖຸ 5 ກຣັມ ໃນນໍ້າກລັ້ນ 1 ລິຕຣ

4.3 ສາຮລາຍ Lowry C

ເຕັມໂດຍກາຮຜສມ Lowry A ກັບ Lowry B ໃນອັຕຣາສ່ວນ 50:1

4.4 ສາຮລາຍ Lowry D

ເຕັມຈາກກາຮຜສມສາຮລາຍໂຟເລີນຝຶນລັກນໍ້າກລັ້ນ ໃນອັຕຣາສ່ວນ 1:1

5. ສາຮລາຍທີ່ໃຊ້ໃນກາຮສັກດີເຈັ້ນເຂົ້າ

5.1 lysis buffer I

ນໍ້າຕາລູໂຄສ	25	ປະໂຄງເຫັນດີ
ໄລໂໂຊໄໝມ (lysozyme) ເຂັ້ມ່ານ	10	ມີລັກກຣັມ/ມີລັລືລິຕຣ

TES บัฟเฟอร์ pH 8.0 ประกอบด้วย

- Trisma base	50	มิลลิเมตร
- EDTA	5.0	มิลลิเมตร
- NaCl	50	มิลลิเมตร

ผสมให้เข้ากัน นำไปทำให้ปลดเชือกที่อุณหภูมิ 121 องศาเซลเซียส ความดัน 15 ปอนด์ต่อตารางนิ้ว เป็นเวลา 15 นาที

5.2 lysis buffer II

SDS	0.8	เปอร์เซ็นต์
โปรตีนे�ส เค (Proteinase K) เข้มข้น	5.0	มิลลิกรัม/มิลลิลิตร
TEN บัฟเฟอร์ pH 7.5 ประกอบด้วย		

- Trisma base	10	มิลลิเมตร
- EDTA	1.0	มิลลิเมตร
- NaCl	10	มิลลิเมตร

ผสมให้เข้ากัน นำไปทำให้ปลดเชือกที่อุณหภูมิ 121 องศาเซลเซียส ความดัน 15 ปอนด์ต่อตารางนิ้ว เป็นเวลา 15 นาที

ภาคผนวก ข

สูตรคำนวณ

1. การคำนวณน้ำหนักเซลล์แห้ง

$$\text{น้ำหนักเซลล์แห้ง (กรัมต่อลิตร)} = \frac{\text{น้ำหนักถัวที่มีเซลล์} - \text{น้ำหนักถัวเปล่า}}{10} \times 100$$

10

2. การคำนวณปริมาณ PHB จากการวิเคราะห์ด้วยวิธีก้าชโครนาโดยกราฟฟิ

ปริมาณ PHB (กรัมต่อลิตร)

$$= \frac{\text{ค่าจากการวิเคราะห์ (กรัมต่อลิตร)}}{20} \times \text{น้ำหนักเซลล์แห้ง (กรัมต่อลิตร)}$$

20

3. การคำนวณปริมาณน้ำตาลรีดิวชิ่ง

$$\text{ปริมาณน้ำตาลรีดิวชิ่ง (กรัมต่อลิตร)} = \text{OD540} \times \text{ความชัน} \times \text{ค่าการเจือจาง}$$

4. การหาปริมาณยูเรียในน้ำมัก

$$\text{ปริมาณยูเรีย (กรัมต่อลิตร)} = \text{OD636} \times \text{ความชัน} \times \text{ค่าการเจือจาง} \times 60 \times 10^{-3}$$

28

หมายเหตุ 60 คือ น้ำหนักโมเลกุลของยูเรีย

28 คือ น้ำหนักโมเลกุลของชาตุในต่อเจนในยูเรีย

5. การคำนวณปริมาณโปรตีน

$$\text{ปริมาณโปรตีน (มิลลิกรัมต่อมิลลิลิตร)} = \frac{\text{OD660} \times \text{ความชัน} \times \text{ค่าการเจือจาง}}{1000}$$

1000

6. การคำนวณน้ำหนักเซลล์แห้งเพื่อใช้วิเคราะห์หาปริมาณโมโนเมอร์

$$\text{น้ำหนักเซลล์แห้ง (กรัมต่อลิตร)} = \text{OD}600 \times \text{ความชัน} \times \text{ค่าการเจือจาง}$$

7. การคำนวณความเข้มข้นกรดออกไซด์บีว่าไทริก

ความเข้มข้นกรดออกไซด์บีว่าไทริก (กรัมต่อลิตร)

$$= \frac{\text{พื้นที่ใต้กราฟกรดออกไซด์บีว่าไทริก} \times 1}{\text{พื้นที่ใต้กราฟกรดมาเลอิก}} \times 5$$

หมายเหตุ 5 คือ ปริมาตรของตัวอย่าง (มิลลิลิตร)

8. การคำนวณ activity ของ NADH

$$\text{activity ของ NADH (ไมโครโมล/นาที)} = \frac{\Delta \text{OD}340 \times 60 \times 1}{\Delta t} \times 0.03$$

หมายเหตุ 60	คือ เปลี่ยนหน่วยวินาทีเป็นนาที
0.2	คือ ปริมาตรรวมทั้งหมดในปฏิกิริยา (มิลลิลิตร)
0.03	คือ ปริมาตรของเอนไซม์ในปฏิกิริยา (มิลลิลิตร)

9. การคำนวณ total activity ของ NADH

$$\text{Total activity (ไมโครโมล/นาที/มิลลิลิตร)} = (\text{activity ของ NADH})(\text{ปริมาตรของเอนไซม์})$$

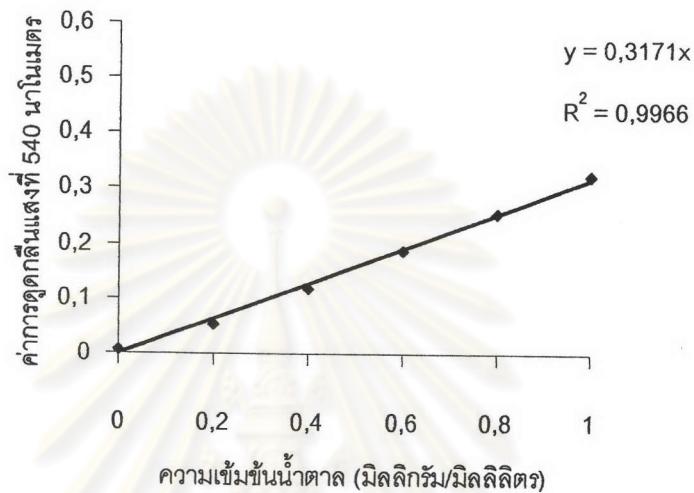
10. การคำนวณ specific activity ของ NADH

$$\text{specific activity (U/มิลลิกรัมโปรตีน)} = \frac{\text{activity ของ NADH}}{\text{มิลลิกรัมโปรตีน}}$$

ภาคผนวก ค

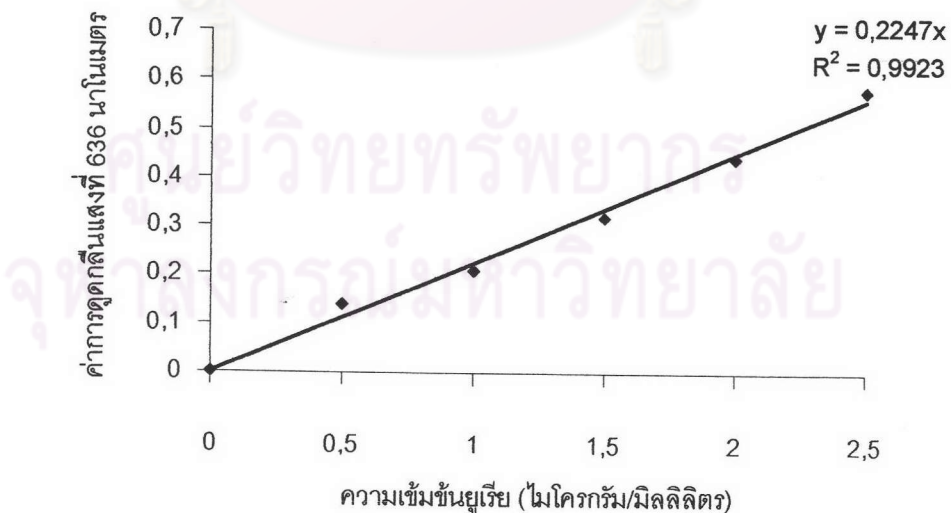
กราฟมาตรฐาน

1. กราฟมาตรฐานของน้ำตาลรีดิวชิ่ง



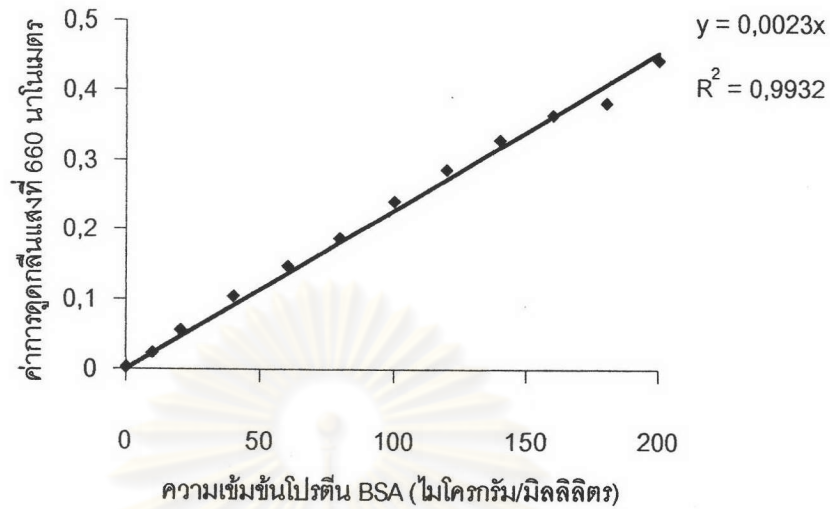
กราฟมาตรฐานของน้ำตาลรีดิวชิ่งในช่วง 0-1.0 มิลลิกรัมต่อมิลลิลิตร มีค่าความชันเท่ากับ 0.3171

2. กราฟมาตรฐานของยูเรีย



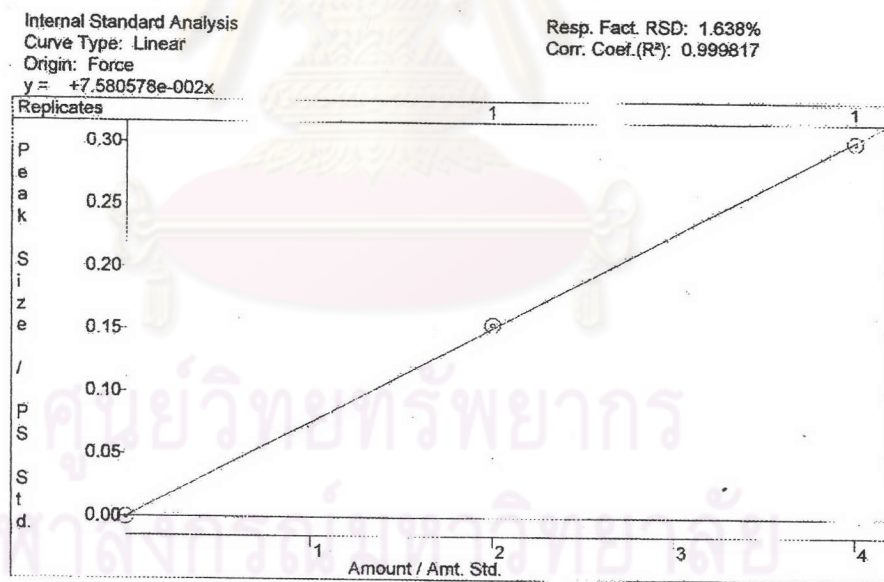
กราฟมาตรฐานของยูเรีย ในช่วง 0-2.5 ไมโครกรัมต่อมิลลิลิตร มีค่าความชันเท่ากับ 0.2247

3. กราฟมาตรฐานโปรตีนวิเคราะห์ด้วยวิธีของ Lowry



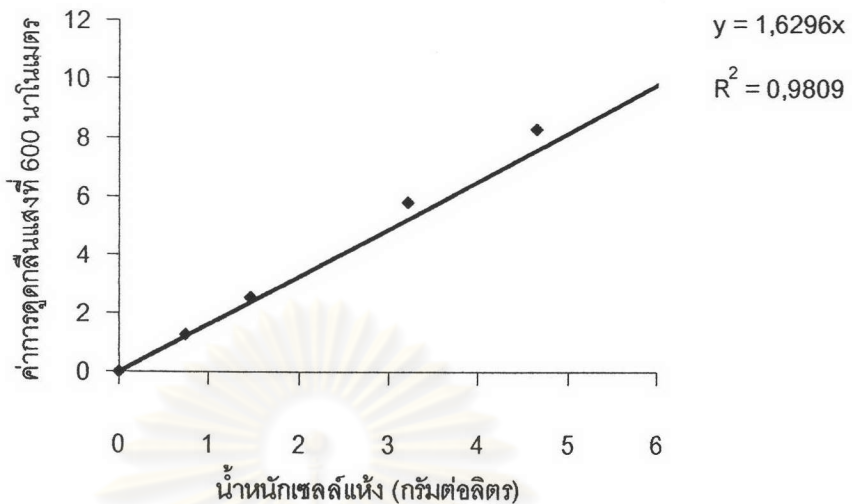
กราฟมาตรฐานของโปรตีนในช่วง 0-200 ไมโครกรัมต่อมิลลิลิตร มีความชันเท่ากับ 0.0023

4. กราฟมาตรฐานโมโนเมอร์ 3-ไฮดรอกซีบิวทิเรตวิเคราะห์ด้วยวิธี GC



กราฟมาตรฐานโมโนเมอร์ 3-ไฮดรอกซีบิวทิเรต ความเข้มข้น 0-4 มิลลิกรัมต่อมิลลิลิตร

5. กราฟมาตรฐานระหว่างค่าการคูดกลีนแสงที่ 600 นาโนเมตร กับน้ำหนักเซลล์แห้ง



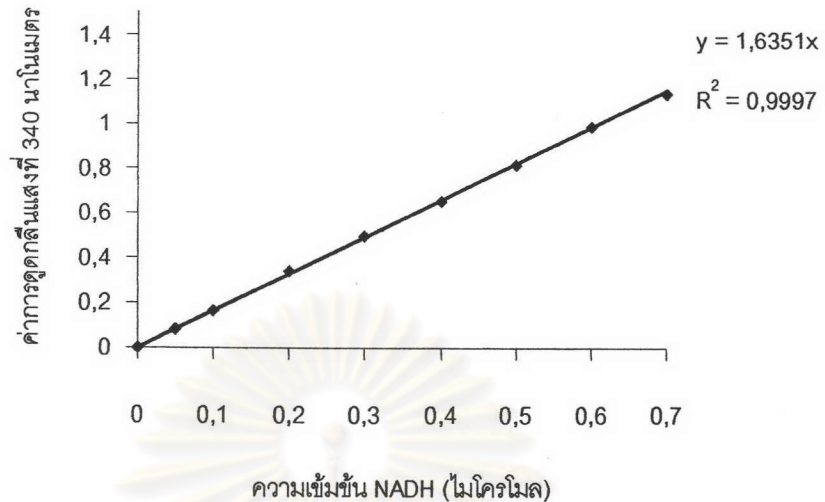
กราฟมาตรฐานน้ำหนักเซลล์แห้งในช่วง 1-6 กรัมต่อเซนติเมตร มีความชันเท่ากับ 1.6296

6. กราฟมาตรฐานกรดอาร์(-)-3-ไฮดรอกซีบิวไทริกวิเคราะห์ด้วยวิธี HPLC



กราฟมาตรฐานกรดอาร์(-)-3-ไฮดรอกซีบิวไทริก ความเข้มข้น 0-8 มิลลิกรัมต่อมิลลิลิตร มีความชันเท่ากับ 0.3708

7. กราฟมาตรฐาน NADH

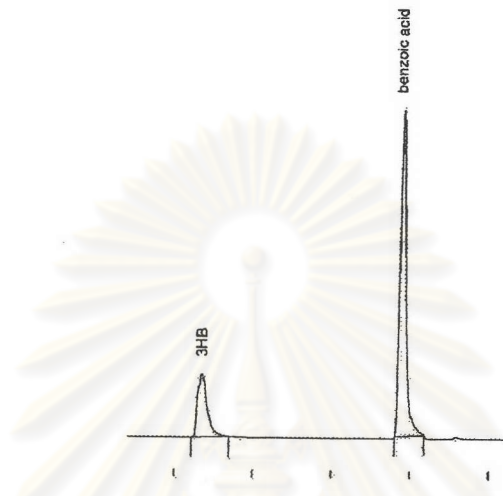


กราฟมาตรฐาน NADH ความเข้มข้น 0-0.7 ไมโครกรัม มีความชันเท่ากับ 1.6351

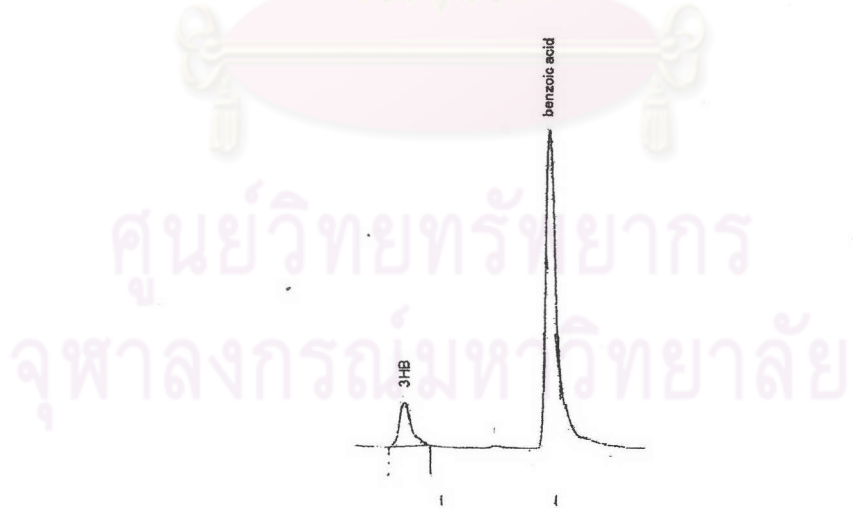
ศูนย์วิทยทรัพยากร
จุฬาลงกรณ์มหาวิทยาลัย

ภาคผนวก ๔

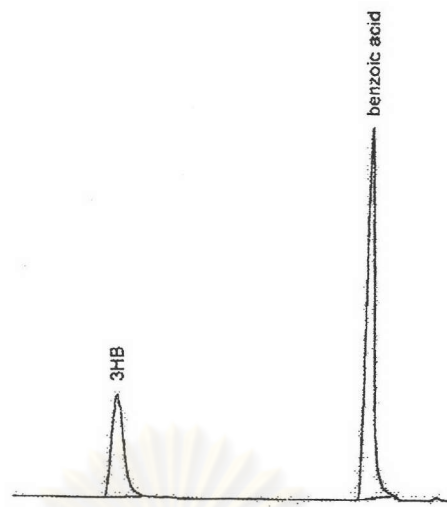
ตัวอย่างโคม่าโตแกรม



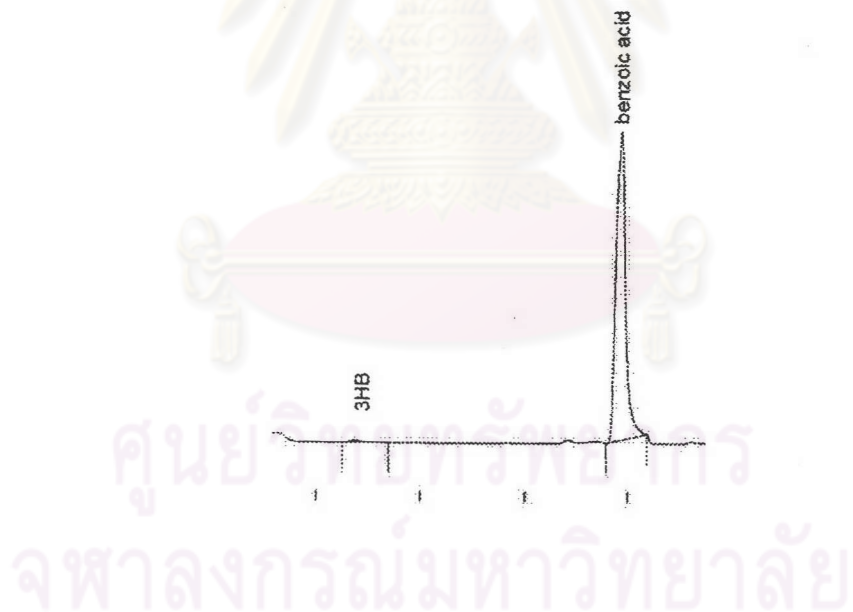
โคม่าโตแกรมสามารถตรวจวัดสาร 3-ไฮดรอกซีบิวไทร์ (3HB) วิเคราะห์ด้วยวิธี GC



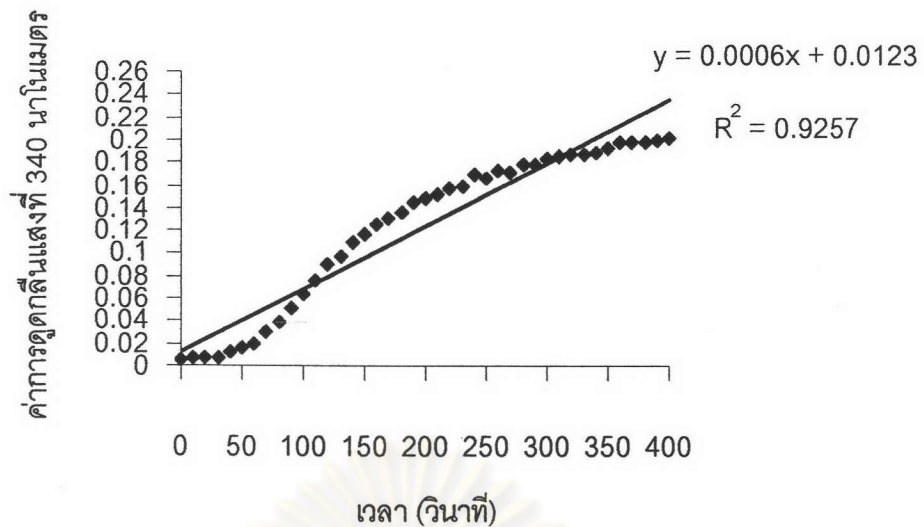
ตัวอย่างโคม่าโตแกรมของ PHB จาก *Bacillus* sp. BA-019 วิเคราะห์ด้วยวิธี GC



ตัวอย่างchromatogramของ PHB จาก *Bacillus* sp. BA-019 หลังจากการดีพอกลิเมอไรเซ็นที่ 37 องศาเซลเซียส, pH 4.0 เป็นเวลา 72 ชั่วโมง วิเคราะห์ด้วยวิธี GC



ตัวอย่างchromatogramของ PHB จาก *Bacillus* sp. BA-019 หลังจากการดีพอกลิเมอไรเซ็นที่ 37 องศาเซลเซียส, pH 5.5 เป็นเวลา 48 ชั่วโมง วิเคราะห์ด้วยวิธี GC



ตัวอย่างผลของการวัดค่า OD340 เพื่อศึกษากิจกรรมของเอนไซม์ R3HB dehydrogenase ในเซลล์ของ *Bacillus* sp. BA-019 ด้วยวิธี spectrometry

ศูนย์วิทยทรัพยากร
จุฬาลงกรณ์มหาวิทยาลัย

ผลการเปรียบเทียบลำดับนิวคลีอไทร์ 16S rDNA ของ *Bacillus* sp. BA-019 กับ Gene Bank

>gi|45934528|gb|AY505511.1| Bacillus megaterium strain GSP55 16S ribosomal RNA gene, partial sequence
Length = 1507

Score = 2825 bits (1425), Expect = 0.0
Identities = 1469/1476 (99%), Gaps = 6/1476 (0%)
Strand = Plus / Plus

Query: 2 ggcgtgcctaatacatgcaacgtcgagcgaactgattagaagcttgccttatgacgtta 61
Sbjct: 15 ggcgtgcctaatacatgcaa-gtcgagcgaactgattagaagcttgccttatgacgtta 73

Query: 62 gcggcggacgggtgagtaaacacgtggcaacctgcctgntaagactggataacttcggg 121
Sbjct: 74 gcggcggacgggtgagtaaacacgtggcaacctgcctg-taagactggataacttcggg 132

Query: 122 aaaccgaagctaataccggataggattttccttcatggagatgattgaaagatggtt 181
Sbjct: 133 aaaccgaagctaataccggataggattttccttcatggagatgattgaaagatggtt 192

Query: 182 tcggctatcacttacagatggcccgcggtgcattagcttagttggtaggtaacggctca 241
Sbjct: 193 tcggctatcacttacagatggcccgcggtgcattagcttagttggtaggtaacggctca 252

Query: 242 ccaaggcaacgatgcatagccgacctgagagggtagtggccacactggactgagacac 301
Sbjct: 253 ccaaggcaacgatgcatagccgacctgagagggtagtggccacactggactgagacac 312

Query: 302 ggcccagactcctacgggaggcagcagtaggaaatcttccgcaatggacgaaagtctgac 361
Sbjct: 313 ggcccagactcctacgggaggcagcagtaggaaatcttccgcaatggacgaaagtctgac 372

Query: 362 ggagcaacgcgcgtgagtgtatgaaaggcttcgggtcgtaaaactctgttgttaggaaag 421
Sbjct: 373 ggagcaacgcgcgtgagtgtatgaaaggcttcgggtcgtaaaactctgttgttaggaaag 432

Query: 422 aacaagtacgagagtaactgctgtaccttgcgtacggtaaccagaaaaggccacggcta 481
Sbjct: 433 aacaagtangagagtaactgctgtaccttgcgtacggtaaccagaaaaggccacggcta 491

Query: 482 actacgtgccagcagccgcggntaatacgttaggtggcaagcggtatccggattattggg 541
Sbjct: 492 actacgtgccagcagccgcgg-taatacgttaggtggcaagcggtatccggattattggg 550

Query: 542 cgtaaagcgcgcgcaggcggttcttaagtctgtatgtgaaagcccacggctcaaccgtgg 601
Sbjct: 551 cgtaaagcgcgcgcaggcggttcttaagtctgtatgtgaaagcccacggctcaaccgtgg 610

Query: 1382 cacaccancgagagttttaacacccgaagtccgtggagtaaccgtaaaggagctagccgc1441
Sbjct: 1391 cacacca-cgagagttttaacacccgaagtccgtggagtaaccgtaaaggagctagccgc1449

Query: 1442 ctaaggtggacagatgaattgggtgaagtctaa 1477
Sbjct: 1450 ctaaggtggacagatg-attgggtgaagtctaa 1484



ศูนย์วิทยทรัพยากร
จุฬาลงกรณ์มหาวิทยาลัย

ภาคผนวก ๔

ผลทางสถิติ

ตารางที่ 17 ค่าทางสถิติของปริมาณโมโนเมอร์ R3HB เมื่ออบสารผสมปฏิกิริยาในน้ำที่แปรค่าอุณหภูมิ, ค่า pH เริ่มต้นเท่ากับ 7.0 เป็นเวลา 72 ชั่วโมง

Means

Case Processing Summary

	Cases					
	Included		Excluded		Total	
	N	Percent	N	Percent	N	Percent
R3HB * TEMP	54	100.0%	0	.0%	54	100.0%

Report

R3HB

TEMP	Mean	N	Std. Deviation
30.00	.2829	18	9.289E-02
37.00	.3548	18	9.470E-02
45.00	.3676	18	9.942E-02
Total	.3351	54	.1011

Oneway

ANOVA

R3HB

	Sum of Squares	df	Mean Square	F	Sig.
Between Groups	7.496E-02	2	3.748E-02	4.091	.022
Within Groups	.467	51	9.160E-03		
Total	.542	53			

Post Hoc Tests

Homogeneous Subsets

R3HB

Duncan^a

TEMP	N	Subset for alpha = .05	
		1	2
30.00	18	.2829	
37.00	18		.3548
45.00	18		.3676
Sig.		1.000	.689

Means for groups in homogeneous subsets are displayed.

a. Uses Harmonic Mean Sample Size = 18.000.

ศูนย์วิทยทรัพยากร
จุฬาลงกรณ์มหาวิทยาลัย

ตารางที่ 18 ค่าทางสถิติของปริมาณโนโนเมอร์ R3HB เมื่อปั่นสารผสมปฏิกิริยาที่อุณหภูมิ 37 องศาเซลเซียส แปรผันค่า pH ในช่วงเท่ากับ 4.0-9.0 เป็นเวลา 72 ชั่วโมง

Means

Case Processing Summary

	Cases					
	Included		Excluded		Total	
	N	Percent	N	Percent	N	Percent
R3HB * PH	162	100.0%	0	.0%	162	100.0%

Report

R3HB

PH	Mean	N	Std. Deviation
4.00	1.556E-03	18	5.873E-03
4.50	6.494E-02	18	6.121E-03
5.00	.3291	18	7.193E-02
5.50	1.6236	18	5.106E-02
6.00	1.3544	18	.4938
6.50	.4069	18	.2432
7.00	.2928	18	7.598E-02
8.00	.2656	18	.1000
9.00	.2398	18	.1122
Total	.5087	162	.5746

Oneway

ANOVA

R3HB

	Sum of Squares	df	Mean Square	F	Sig.
Between Groups	47.392	8	5.924	157.189	.000
Within Groups	5.766	153	3.769E-02		
Total	53.158	161			

Post Hoc Tests

Homogeneous Subsets

R3HBDuncan^a

PH	N	Subset for alpha = .05				
		1	2	3	4	5
4.00	18	1.556E-03				
4.50	18	6.494E-02				
9.00	18		.2398			
8.00	18		.2656			
7.00	18		.2928	.2928		
5.00	18		.3291	.3291		
6.50	18			.4069		
6.00	18				1.3544	
5.50	18					1.6236
Sig.		.327	.212	.095	1.000	1.000

Means for groups in homogeneous subsets are displayed.

a. Uses Harmonic Mean Sample Size = 18.000.



ศูนย์วิทยทรัพยากร
จุฬาลงกรณ์มหาวิทยาลัย

ประวัติผู้เขียนวิทยานิพนธ์

นางสาวกฤษมา กมลจารัสสิภา เกิดวันที่ 20 กุมภาพันธ์ พ.ศ. 2522 จังหวัดกรุงเทพมหานคร สำเร็จการศึกษาระดับปริญญาโทสาขาศาสตรบัณฑิต เกียรตินิยมอันดับหนึ่ง ภาควิชาวิทยาศาสตร์ ทั่วไป คณะวิทยาศาสตร์ มหาวิทยาลัยเกษตรศาสตร์ เมื่อปีการศึกษา 2543 และเข้าศึกษาต่อในระดับบัณฑิตศึกษา สาขาวุฒิวิทยาทางอุตสาหกรรม ภาควิชาจุลชีววิทยา คณะวิทยาศาสตร์ จุฬาลงกรณ์มหาวิทยาลัย ในปีการศึกษา 2544 ระหว่างการศึกษาได้ร่วมเสนอผลงานในงานจุฬาฯ วิชาการครั้งที่ 9 ผลการทดลองส่วนหนึ่งได้เผยแพร่ในงาน BIOTECH 2004 ณ จังหวัดเชียงใหม่ และงานประชุมวิชาการครั้งที่ 12 ณ จุฬาลงกรณ์มหาวิทยาลัย



**ศูนย์วิทยทรัพยากร
จุฬาลงกรณ์มหาวิทยาลัย**